

## مطالعه تأثیر طول بلوک های هاپلوتیپی در بهبود صحت پیش بینی ژنومی به کمک

### روش های بیزی در گوسفند

DOR: 20.1001.1.17359880.1400.14.2.2.1

رضا سیدشریفی<sup>۱</sup>، فاطمه علا نوشهر<sup>۲</sup>، نعمت هدایت ایوریق<sup>۱</sup>، جمال سیف دواتی<sup>۱</sup>

۱- عضو هیات علمی، گروه علوم دامی، دانشکده کشاورزی، دانشگاه محقق اردبیلی، اردبیل، ایران. reza\_seyedsharifi@yahoo.com  
۲- دانش آموخته دکتری گروه علوم دامی، دانشکده کشاورزی دانشگاه تبریز، تبریز، ایران.

تاریخ دریافت: ۱۴۰۰/۱/۱ تاریخ پذیرش: ۱۴۰۰/۱/۳۰

### چکیده

زمینه و هدف: عدم تعادل پیوستگی (LD) و طرح ساختار بلوک-های هاپلوتیپ سطح جمعیت پارامترهایی هستند که برای مدیریت مطالعات گسترده ژنومی (GWAS) و درک ماهیت رابطه غیر خطی بین فنوتیپ-ها و ژنوتیپ ها مفید هستند. در مقایسه با چند شکلی تک نوکلئوتیدی (SNP)، استفاده از آلل های هاپلوتیپ در پیش بینی ژنومی و بهبود صحت پیش بینی کارآمدتر هستند. اما میزان افزایش صحت به چگونگی طراحی بلوک های هاپلوتیپ بستگی دارد. این مطالعه با هدف آزمون اندازه بهینه برای طول هاپلوتیپ در پیش بینی های ژنومی صورت گرفت.

روش کار: در این مطالعه آلل های هاپلوتیپ با توجه به آلل های SNP در بلوک های 125 kb، 250 kb، 500 kb و 1 Mb تعریف و آلل های هاپلوتیپ با فرکانس های کمتر از ۱، ۲/۵، ۵ یا ۱۰ درصد حذف شدند. از دو روش بیز A و بیز B برای پیش بینی اثرات ژنومی SNP ها و هاپلوتیپ ها در سه صفت با سه سطح وراثت پذیری (تولید شیر ( $h^2=0.1$ ))، وزن لاشه ( $h^2=0.3$ ) و وزن بدن در بلوغ ( $h^2=0.45$ ) استفاده شد.

یافته ها: بیشترین صحت پیش-بینی ژنومی در صفت وزن بدن در زمان بلوغ توسط روش بیز B ( $0.652$ ) در طول بلوک هاپلوتیپی 250 kb و کمترین توسط روش بیز A در صفت تولید شیر ( $0.407$ ) در طول بلوک هاپلوتیپی 1 Mb حاصل گردید. بلوک های هاپلوتیپی به طول 250 kb با آستانه فرکانس ۱ درصد، بالاترین میزان صحت پیش بینی ژنومی را ارائه دادند. در مقایسه دو روش بیز A و بیز B، روش بیز B صحت برآورد بالاتری هم در مدل های بر پایه SNP و هم بر پایه آلل های هاپلوتیپ ارائه داد. نتیجه گیری: قرار دادن آلل های هاپلوتیپ به جای SNP ها در مدل آماری، در صورت تعریف مناسب طول هاپلوتیپ، سبب بهبود صحت پیش بینی ژنومی می شود.

واژه های کلیدی: مطالعات گسترده ژنومی، عدم تعادل پیوستگی، بلوک های هاپلوتیپ، SNP، بیز A، بیز B.

### مقدمه

ناتنی تشکیل می شود. این ساختار جمعیتی به ما امکان می دهد تا هاپلوتیپ-ها به طور دقیق و سریع بازسازی شوند (۶). یک بلوک هاپلوتیپ ناحیه ای از ژنوم است و مجموعه ای از نشانگرهای ژنتیکی مجاور را تشکیل می-دهد (به عنوان مثال SNP ها) که آلل های فازی آن ها احتمالاً با هم به ارث می رسند. چنانچه میزان LD بین آلل های هاپلوتیپ و QTL درون بلوک هاپلوتیپی بیشتر از LD بین آلل های SNP افراد و QTL باشد، پیش بینی می شود. صحت پیش بینی های ژنومی حاصل از آلل های

دسترسی به ژنوتیپ های چند شکلی تک نوکلئوتیدی (SNP) امکان تخمین ارزش های اصلاحی را با صحت بالاتر در سنین جوانی نسبت به ارزش های اصلاحی بر اساس میانگین والدین فراهم ساخته است (۲۲). پیش بینی ژنومی به طور معمول با استفاده از متغیرهایی که تراکم آلل های SNP را نشان می دهند با اتکا به عدم تعادل پیوستگی (LD) بین SNP ها و جایگاه صفات کمی (QTL) برای تخمین اثرات QTL اجرا می شود (۱۶)، (۱۱). جمعیت دام ها معمولاً از تعداد زیادی برادر و خواهر

هاپلو تیب نسبت به آلل های SNP، بیشتر است. صحت پیش بینی مدل های هاپلو تیب تحت تأثیر روش استفاده شده در تقسیم ژنوم در بلوک های هاپلو تیبی هم در سطح داده های شبیه سازی شده (۲۴،۲۵) و هم سطح داده های واقعی قرار دارد (۱۳). انتخاب طول مطلوب هاپلو تیب به مدل سازی مناسب SNP ها و QTL ها بستگی دارد. تغییر طول هاپلو تیب ها می تواند در مدل سازی LD بین SNP ها و QTL کمک کننده باشد. از سویی دیگر، چنان چه شباهت هاپلو تیب ها اساس تعیین روابط خویشاوندی باشد، افزایش تعداد آلل های هاپلو تیب منجر به کاهش روابط خویشاوندی در هر قطعه می گردد. استفاده از قطعات کوتاه هاپلو تیب می تواند روابط خویشاوندی بسیار دور را هم در ماتریس حفظ کند، اما این امکان نیز وجود دارد که با نادیده گرفتن LD، فازهای مختلفی را بین SNP ها و QTL ایجاد کند. طول مطلوب هاپلو تیب می تواند میزان روابط خویشاوندی دور و قدیمی شجره را در برابر خطاهای LD که بین SNP ها و QTL ها در کل جمعیت ممکن است رخ دهد، متعادل سازد (۱۶). کیابانو و همکاران دریافتند که استفاده از آلل های هاپلو تیب به جای SNP ها، سبب افزایش صحت پیش بینی ژنومی در هنگام اجرای مدل بیزی مختلط می شود (۴). در مدل بیز A اطلاعات تمام نشانگرها به طور هم زمان وارد شده و فرض می شود که اثرات نشانگر مستقل بوده و هر نشانگر واریانس خاص خود را دارد و انتظار نمی رود که تمام مناطق ژنومی با فنوتیب مرتبط باشند. در مدل بیز B پارامتر  $\pi$  تعریف شده و اثرات نشانگر از توزیع مختلطی نمونه گیری می شود (۱۷)، به موجب آن اثرات تقریباً  $\pi-1$  نشانگر در هر تکرار از یک زنجیره مارکوف با همان فرضیات مدل بیز A نمونه برداری شده و بقیه اثرات صفر در نظر گرفته می گردند (۱۷). موویسن و همکاران در سال ۲۰۰۱ پیش بینی کردند که اگر زمانی تکنولوژی پیشرفت نماید و هزینه های ژنوتیب کردن کاهش یابد، می تواند تعداد

زیادی نشانگر که روی کل ژنوم پراکنده شده اند را به طور هم زمان در حیوانات ژنوتیب کرد و در نتیجه تمام جایگاه های مؤثر بر یک صفت را شناسایی و با برآورد اثرات هر یک از نشانگرها، ارزش اصلاحی حیوانات را تنها از روی اطلاعات نشانگری و بدون نیاز به اطلاعات فنوتیبی آن ها برآورد نمود که آن را ارزش اصلاحی ژنومی (GEBV) نامیدند (۱۷). برای برآورد ارزش های اصلاحی در انتخاب ژنومی، دو دیدگاه ارائه شده است. ابتدا فرض بر این است که تمامی SNP ها بر واریانس صفت مؤثر بوده و صفت دارای مدل ژنتیکی نامحدود می باشد روش بهترین پیش بینی کننده ناریب خطی ژنومی (GBLUP) بر پایه این دیدگاه طراحی شده است. در دیدگاه دوم فرض بر آن است که تنها برخی از SNP ها بر صفت تأثیر داشته و صفت دارای مدل ژنتیکی ژن های عمده اثر می باشد. بر پایه این دیدگاه برخی روش های بیزی مانند بیز B، بیز C، بیز LASSO بنا نهاده شده اند (۱۷). از عوامل مؤثر بر صحت پیش بینی ارزش های اصلاحی ژنومیک می توان به وراثت پذیری صفت، تعداد افراد و نسل های جمعیت مرجع و تأیید، نوع و تراکم نشانگرها، معماری ژنتیکی صفت کمی و روش استفاده شده در پیش بینی ارزش های اصلاحی ژنومیک اشاره کرد. در بین روش های بیزی روش بیز B و بیز LASSO در حالت توزیع گاما، تأثیرات ژنی بهترین عملکرد را نشان دادند، اما تفاوت آن ها از نظر آماری معنی دار نبود. یکی از ضعف های روش GBLUP این است که فرض می شود کلیه SNP ها روی صفت مؤثر بوده و برای همه نشانگرها سهم یکسانی در پیش بینی ارزش اصلاحی در نظر گرفته می شود. در حالی که در روش های بیزی بر حسب توزیع پیشین، وزن های متفاوتی به SNP ها اختصاص داده می شود (۵). هدف از این مطالعه ارزیابی صحت، اریب و زمان محاسباتی روش های پیش بینی ژنومی بیز A و بیز B متناسب با متغیرهای آلل های هاپلو تیب با طول ثابت در

نشانگرها در هر نمونه و حداقل فراوانی آللی (MAF) استفاده شد (۱۴). در ابتدا نشانگرهایی که نرخ تعیین ژنوتیپ شده آن‌ها در نمونه‌ها کمتر از ۹۵ درصد بود شناسایی و حذف گردیدند، سپس SNP هایی با حداقل فراوانی آللی (MAF) کمتر از ۵ درصد حذف شدند. چنانچه فراوانی آللی نشانگرها کمتر از ۵ درصد باشد، منجر به کمتر برآورد شدن آماره  $r^2$  برای میزان عدم تعادل پیوستگی بین جفت نشانگرها می‌شود. QTL دو آللی با توزیع گاما (۰/۴ و ۱/۶۶) در طول ژنوم با تراکم 2 QTL در هر سانتی مورگان ایجاد شد که در مجموع 500 QTL در سطح ژنوم توزیع شد. نرخ جهش SNP ها و QTL ها  $5 \times 10^{-5}$  به ازاء هر لوکاس در هر نسل فرض شد (۲۰). سه صفت با سه سطح وراثت پذیری پایین: ۰/۱ (تولید شیر (MILK))، متوسط: ۰/۳ (وزن لاشه (CARCASS)) و بالا: ۰/۴۵ (وزن بدن در زمان بلوغ (MATURE)) در گوسفند شبیه سازی گردید.

### عدم تعادل پیوستگی

میانگین LD با جفت SNP های مجاور و میانگین LD در سراسر کروموزوم برای هر کروموزوم برآورد شد. از نرم افزار Haploview 4.2 نیز برای شناسایی بلوک های هاپلوتیپ موجود در هر کروموزوم استفاده گردید. تنوع هاپلوتیپ به صورت  $1 - \sum f_i^2$  تعریف می‌شود که  $f_i$  فراوانی آمین هاپلوتیپ را نشان می‌دهد. چنانچه آستانه ۹۵ درصدی اطمینان  $D'$  بالاتر از ۰/۹۸ و حد پایین آن بالاتر از ۰/۷ باشد، دو SNP در وضعیت LD قوی در نظر گرفته می‌شوند. جهت محاسبه مقدار LD در بین نشانگرها از آماره  $r^2$  استفاده شد (۱۵).

رابطه ۱:

$$r^2 = \frac{D^2}{f(A) * f(a) * f(B) * f(b)}$$

که در آن  $D = f(AB) - f(A) * f(B)$ ، و  $f(AB)$ ،  $f(A)$ ،  $f(a)$ ،  $f(B)$ ،  $f(b)$  به ترتیب فراوانی مشاهده شده برای هاپلوتیپ های AB، A، a، B، b می‌باشد.

مقایسه با آلل های SNP است. آلل های هاپلوتیپ با طول ۱۲۵ کیلوبایت تا ۱ مگابایت، با آستانه فراوانی آللی متفاوت، از ۱ تا ۱۰ درصد، با استفاده از مدل های A و B به کار گرفته شدند. هم چنین این فرضیه که آیا اندازه بهینه ای برای طول هاپلوتیپ در پیش بینی های ژنومی وجود دارد، مورد آزمون قرار گرفت.

### مواد و روش ها

#### شبیه سازی جمعیت پایه

جمعیت پایه با استفاده از نرم افزار QMSim بر اساس روند پیش رونده در زمان شبیه سازی شدند (۱۹). ۱۰۰ دام دیپلوئید گوسفند نژاد دو منظوره گوشتی-شیری (دورست)، شامل ۵۰ نر و ۵۰ ماده، برای جمعیت پایه (نسل صفر) شبیه سازی گردیدند (۱۹). گامت های والدی با فرض عدم تعادل پیوستگی (LD) بر اساس نقشه یابی هالدان گامت های نوترکیب شبیه سازی و به طور تصادفی برای ایجاد یک فرد باهم ترکیب شدند (۱۲). ساختار نسل اول تا نسل ۵۰ با جفت گیری تصادفی دنبال شده تا جمعیت های عدم تعادل پیوستگی ایجاد شود. برای هر نسل، LD با استفاده از آماره  $r^2$  (رابطه ۱) اندازه گیری و به عنوان میانگین LD تمام SNP ها بود. پس از جمعیت LD ده نسل دیگر (۵۱ تا ۶۰) ساخته شد (۲۰). جمعیت پایه شامل ۱۰۰۰ حیوان غیر خویشاوند (۵۰۰ نر و ۵۰۰ ماده) بود. در این مطالعه، نسل ۵۱ و ۵۲ به عنوان جمعیت مرجع و نسل های دیگر (۵۳ تا ۶۰) به عنوان جمعیت تأیید در نظر گرفته شدند.

#### شبیه سازی ژنوم

حیوانات با استفاده از آرایه نانویی شامل نشانگر با تراکم بالای گوسفندی (K50) برای شناسایی دقیق مکان های ژنی مؤثر بر صفات هدف، که دارای 48583 SNP بود، ژنوتیپ شدند. این SNP ها روی ۳ کروموزوم پراکنده و طول هر کروموزوم ۲۰۰ سانتی مورگان در نظر گرفته شد. برای فیلتراسیون داده های ژنوتایپینگ از معیارهای فراوانی ژنوتایپینگ نمونه ها، نرخ ژنوتایپینگ

### ساختار بلوک های هاپلوتیپ

برای تشکیل فاز هاپلوتیپ از یک مدل مارکوف مخفی از نرم افزار Beagle v4.1 استفاده شد (۲). سپس بلوک های هاپلوتیپ به طور جداگانه با استفاده از نرم افزار PLINK v1.9 طبق روش Haploview v4.1 (۱) بر اساس تخمین D' برای ترکیب جفت SNP ها در طول کروموزوم تعریف شدند (۳). با استفاده از مقادیر پیش فرض برای بلوک ها، یک بلوک هاپلوتیپ به عنوان منطقه ای تعریف می شود که ۹۵ درصد از جفت های SNP میزان LD بالایی را نشان می دهند (۸). از الگوریتم GLM و نرم افزار Plink برای تولید ماتریس هاپلوتیپی استفاده شد. هاپلوتیپ ها با چهار طول مختلف (۱۲۵ کیلو بایت، ۲۵۰ کیلو بایت، ۵۰۰ کیلو بایت و ۱ مگابایت) ساخته و آلل هاپلوتیپ های نادر بر اساس فراوانی آن ها در جمعیت مرجع در چهار آستانه فراوانی مختلف ۱، ۲/۵، ۵ و ۱۰ درصد حذف شدند (۱۴).

### تحلیل آماری

از مدل GEBV برای محاسبه مجموع تمام اثرات نشانگر در کل ژنوم استفاده گردید (۱۷):  
رابطه ۲:

$$GEBV_i = \sum_{j=1}^l x_j \beta_j$$

که در آن l تعداد لوکاس گسترده در ژنوم،  $x_j$  نشان دهنده ژنوتیپ فردی در زامین لوکاس با ارزش ۰، ۱ و ۲ می باشد،  $\beta_j$  اثر جایگزینی آلل نشانگر در زامین لوکاس است.

### روش بیز A

در روش بیز A فرض می شود که تمامی SNP ها دارای اثر، حتی جزئی بوده و تعدادی از SNP ها در عدم تعادل پیوستگی با QTL هایی با اثرات متوسط تا بزرگ قرار دارند. اثرات SNP ها از توزیع نرمال با واریانس جداگانه برای هر SNP از توزیع کای دو معکوس، نمونه گیری

می شود. برای به کار بردن این روش از معادله فوق استفاده شد (۱۷):

رابطه ۳:

$$y = 1\mu + Xh + \sum_{j=1}^k Z_j \alpha_j \delta_j + e$$

که در آن y بردار  $N \times 1$  از YD است،  $\mu$  اثر میانگین، X ماتریس وقوع مقادیر جفت هتروزیس  $\delta_j$  ها، h بردار اثرات هتروزیس، k تعداد متغیرهای SNP یا آلل های هاپلوتیپ، Z بردار  $N \times 1$  شماره آللی SNP ها (۰، ۱ و ۲) یا آلل های هاپلوتیپی و e بردار  $N \times 1$  اثرات باقی مانده با میانگین صفر و واریانس  $\delta_e^2$  است. در این مدل توزیع شرطی در نظر گرفته شده برای تأثیرات نشانگری توزیع t به صورت:

$$p(b_j | \theta_{b_j}, \sigma^2) = t(b_j | df_b, S_b) \int N(b_j | 0, \sigma_{b_j}^2) x^{-2} (df_b | S_b) \partial \sigma_{b_j}^2$$

که در آن dfb و Sb به ترتیب درجات آزادی و پارامتر مقیاس و  $(df_b | S_b)$  (x<sup>-2</sup>) توزیع کای اسکور مقیاس دار معکوس است.

### روش بیز B

در این روش اکثر SNP های موجود در منطقه ژنومی QTL ای نداشته و بنابراین اثرات آن ها برابر با صفر می باشد، در حالی که تعداد اندکی از آن ها (1- $\pi$ ) در عدم تعادل پیوستگی با QTL قرار داشته و دارای اثر می باشند. در نتیجه اثرات غیرصفر در عدم تعادل پیوستگی بالایی با QTL قرار دارند. بیز B تحت معادله فوق اجرا شد (۱۷):  
رابطه ۴:

$$y = 1\mu + Xh + \sum_{j=1}^k Z_j \alpha_j \delta_j + e$$

متغیرها در مدل بیز A تعریف شدند به جز  $\alpha_j$  نشان - دهنده اثرات صفر در مدل است. از نرم افزار GenSel v4.73R برای پیش بینی ژنومی با نهادن متغیرهای آلل SNP یا هاپلوتیپ در مدل بیز A و بیز B استفاده شد (۹). در محیط نرم افزار R برای هر تحلیل یک زنجیره مارکوف

تأثیر تراکم نشان گری بر صحت پیش بینی ژنومی پس از کنترل کیفیت، ۲۵ رأس دام از مطالعه حذف و ۱۷۵ رأس گوسفند برای تجزیه و تحلیل باقی ماندند. علاوه بر این، SNP 1232 با نرخ حذف کمتر از ۹۵ درصد و SNP 4698 با MAF کمتر از ۰/۰۵ حذف شدند. در مجموع 42653 SNP از این فیلترهای کنترل کیفیت عبور کرده و در مجموعه داده ها حفظ شدند. تعداد SNP ها در هر بلوک هاپلو تیبی در ژنوم متفاوت بود (جدول ۲). در تمام بلوک های هاپلو تیبی حداقل تعداد SNP ها در هر بلوک هاپلو تیبی ۱ محاسبه شد. میانگین تعداد SNP ها در هر بلوک هاپلو تیبی بین ۲ تا ۳۲ و حداکثر از ۶ تا ۵۸ بود. نتایج نشان داد که با افزایش فاصله بین نشانگرها، سطح LD کاهش می یابد.

مونت کارلو به طول ۴۱ هزار چرخه شامل ۱۰ هزار چرخه اولیه جهت گرم شدن و ۲۰۰ هزار چرخه اصلی به کار رفت که در هر ۵ دور یک بار نتایج ذخیره و در پایان نتایج، ۴۰ هزار چرخه ذخیره گردید. علاوه بر صحت و اریب مدل، تعداد اثرات تصادفی (SNP یا هاپلو تیب) در مدل گنجانده و زمان محاسباتی نیز اندازه گیری شد.

## نتایج

### میانگین عدم تعادل پیوستگی

در مطالعه حاضر، میانگین LD محاسبه شده بین تمامی SNP ها  $0.27 \pm 0.201$  (r2) به دست آمد. نتایج نشان می دهد که ۸۹ درصد مقدار LD مورد انتظار در این شبیه سازی حاصل شده است. مقدار LD مورد انتظار بر اساس مطالعه اسوید ۰/۲۱۰ گزارش شده است (۲۲).

### جدول ۱- خلاصه ساختار جمعیت و پارامترهای شبیه سازی

ارزش	پارامترهای ژنومی
۳	تعداد کروموزم
cM۶۰۰	طول ژنوم
۱۲۰۰	تعداد QTL
۴۸۵۸۳	تعداد نشانگر
$2/5 \times 10^{-5}$	نرخ جهش QTL
$2/5 \times 10^{-3}$	نرخ جهش SNP
گاما ( $\alpha=1/66$ و $\beta=0.4$ )	اثر توزیع QTL
تصادفی	جایگاه QTL در ژنوم
یکسان	جایگاه SNP در ژنوم
ارزش	پارامترهای صفت
۰/۴۵ و ۰/۳، ۰/۱	وراثت پذیری
۱	واریانس فنوتیپی
۰	صفات محدود به جنس
۱۰	تعداد نسل
تصادفی	نوع تلاقی
همه حیوانات نسل ۵۱ و ۵۲	جمعیت مرجع
همه حیوانات نسل ۵۳ تا ۶۰	جمعیت تأیید

جدول ۲- میانگین و حداکثر تعداد SNPها بر اساس طول بلوک هاپلوتیپی

طول بلوک هاپلوتیپی	تعداد بلوک هاپلوتیپی	تعداد SNP در هر بلوک هاپلوتیپی	
		میانگین	حداکثر
kb۱۲۵	۱۸۵۲۳	۲	۶
kb۲۵۰	۱۱۴۲۱	۵	۱۱
kb۵۰۰	۷۳۴۱	۹	۱۸
Mb۱	۳۴۷۷	۱۷	۳۵
Mb۲	۱۸۹۱	۳۲	۵۸

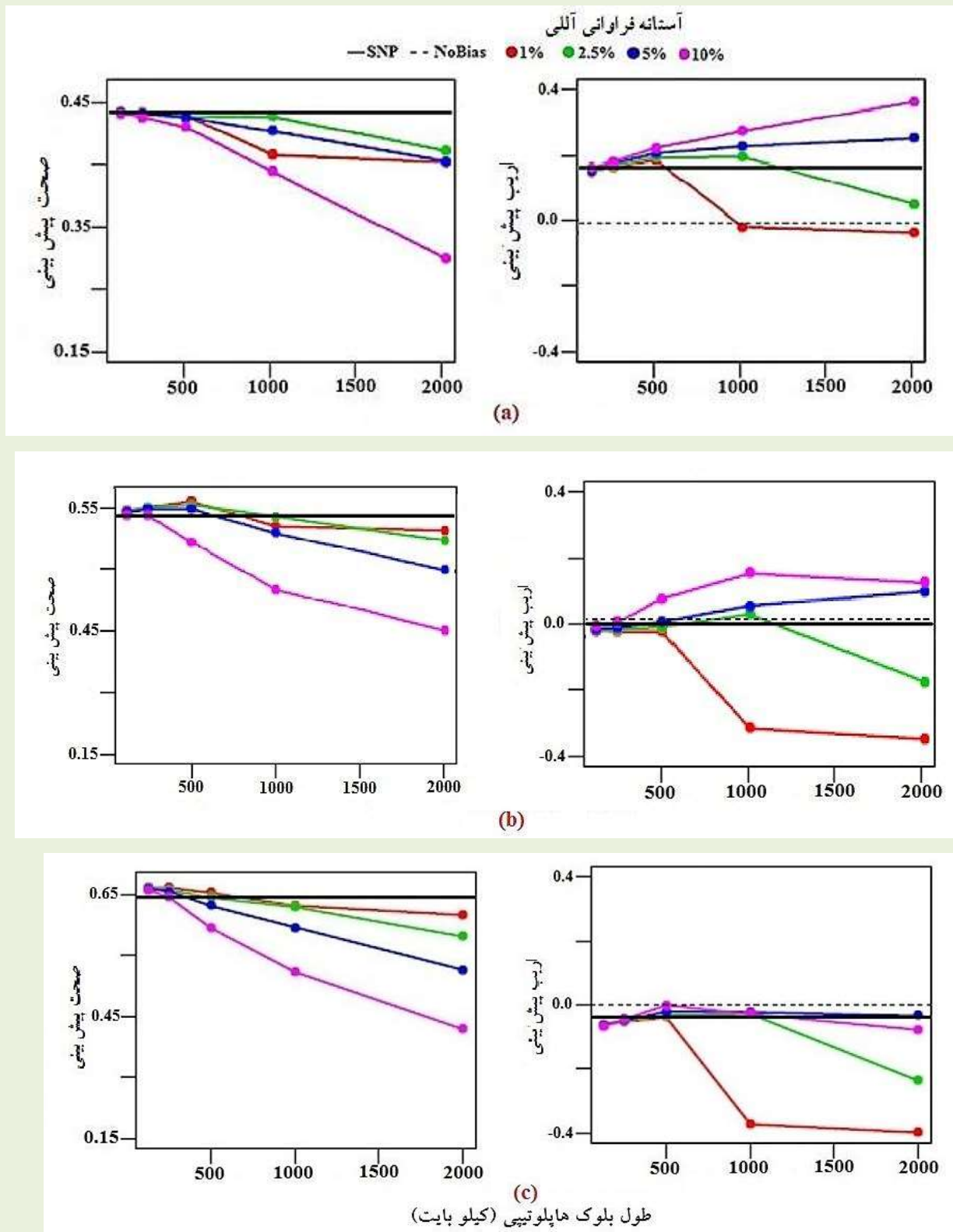
## صحت و اریب پیش بینی

صحت پیش بینی و اریب مدل بیز A و بیز B در جدول ۳ و نمودار ۱ آورده شده است. صفت وزن در بلوغ (MATURE) با وراثت پذیری بالا دارای بالاترین صحت پیش بینی نسبت به سه صفت مورد مطالعه بود، به دنبال آن صفات کیفیت لاشه (CARCASS) و تولید شیر (MILK)، مطابق با سطح وراثت پذیری خود قرار داشتند. مدل های هاپلوتیپی نسبت به مدل بر پایه SNP از صحت بالاتری برخوردار بوده و میزان اریب مشابه یا پائینی داشتند. افزایش طول بلوک هاپلوتیپی یا آستانه فراوانی آلل هاپلوتیپ سبب کاهش صحت و افزایش اریب مدل هاپلوتیپی می شود. با این حال مدل با طول

بلوک هاپلوتیپی ۲۵۰ کیلوبایت و فیلتر فراوانی آلل هاپلوتیپی ۱ درصد، در بین طول بلوک های مورد مطالعه بیشترین صحت را ارائه داد. افزایش سطح آستانه فراوانی آللی تأثیر منفی بیشتری بر صحت و اریب برای طول بلوک های هاپلوتیپی بلند (500 - Mb1 کیلو بایت) نسبت به بلوک های هاپلوتیپی کوتاه تر (۲۵۰ - ۱۲۵ کیلوبایت) داشت. اریب پیش بینی برای مدل هایی که از بلوک های هاپلوتیپی کوتاه تر استفاده می کنند، مشابه مدل SNP بود، در حالی که مدل هایی که از بلوک های هاپلوتیپی بلندتر استفاده می کردند، معمولاً اریب بیشتری نسبت به مدل بر پایه SNP داشتند (نمودار ۱).

جدول ۳- صحت و اریب پیش بینی ژنومی سه صفت تولید شیر، وزن لاشه و وزن بدن در بلوغ در چهار سطح بلوک هاپلوتیپ

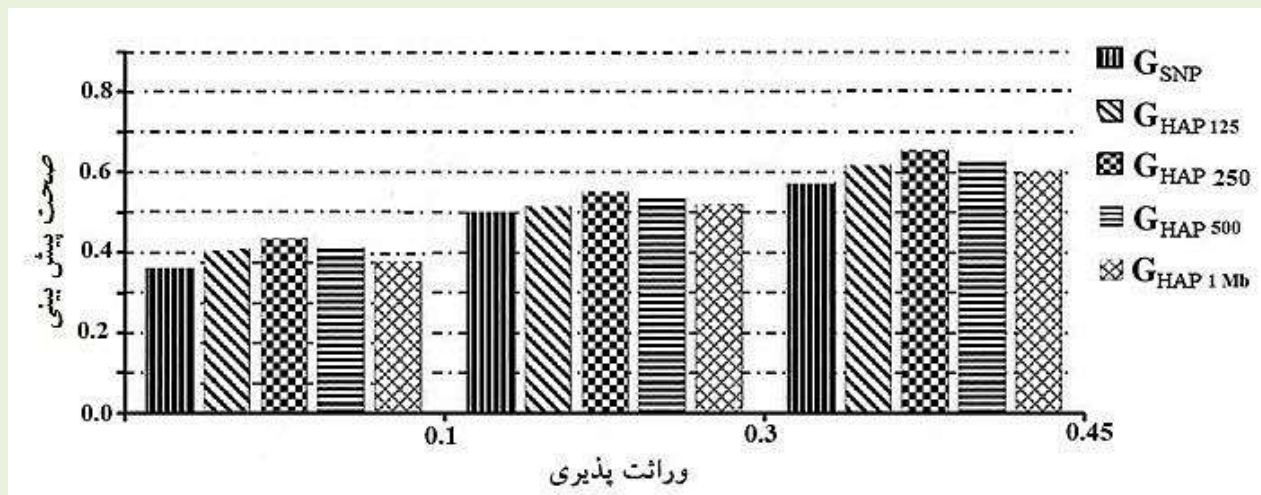
اریب پیش بینی		صحت پیش بینی		طول بلوک هاپلوتیپ	وراثت پذیری
BayesB	BayesA	BayesB	BayesA		
۰/۱۱۵ (۰/۰۲)	۰/۱۱۷ (۰/۰۲)	۰/۴۳۱ (۰/۰۳)	۰/۴۲۹ (۰/۰۲)	۱۲۵kb	تولید شیر
۰/۲۱۴ (۰/۰۱)	۰/۲۱۶ (۰/۰۱)	۰/۴۴۵ (۰/۰۲)	۰/۴۳۹ (۰/۰۲)	۲۵۰kb	$h^2=۰/۱$
۰/۳۲۶ (۰/۰۱)	۰/۳۲۹ (۰/۰۲)	۰/۴۲۸ (۰/۰۱)	۰/۴۲۴ (۰/۰۲)	۵۰۰kb	
۰/۴۱۱ (۰/۰۱)	۰/۴۱۵ (۰/۰۲)	۰/۴۱۳ (۰/۰۱)	۰/۴۰۷ (۰/۰۱)	۱Mb	
۰/۰۸۹ (۰/۰۱)	۰/۱۱۱ (۰/۰۲)	۰/۵۴۱ (۰/۰۲)	۰/۵۳۷ (۰/۰۱)	۱۲۵kb	وزن لاشه
۰/۱۱۳ (۰/۰۱)	۰/۱۱۶ (۰/۰۲)	۰/۵۵۲ (۰/۰۲)	۰/۵۴۶ (۰/۰۱)	۲۵۰kb	$h^2=۰/۳$
۰/۲۱۸ (۰/۰۱)	۰/۲۲۲ (۰/۰۳)	۰/۵۳۵ (۰/۰۲)	۰/۵۲۹ (۰/۰۲)	۵۰۰kb	
۰/۲۲۴ (۰/۰۱)	۰/۲۲۹ (۰/۰۱)	۰/۵۲۶ (۰/۰۱)	۰/۵۱۸ (۰/۰۲)	۱Mb	
-۰/۰۶۸ (۰/۰۱)	-۰/۰۸۷ (۰/۰۱)	۰/۶۴۷ (۰/۰۲)	۰/۶۴۱ (۰/۰۱)	۱۲۵kb	وزن بدن در
-۰/۱۱۹ (۰/۰۱)	-۰/۱۳۸ (۰/۰۱)	۰/۶۵۲ (۰/۰۳)	۰/۶۴۶ (۰/۰۱)	۲۵۰kb	بلوغ
-۰/۲۸۴ (۰/۰۱)	-۰/۲۹۹ (۰/۰۱)	۰/۶۳۴ (۰/۰۱)	۰/۶۲۱ (۰/۰۱)	۵۰۰kb	$h^2=۰/۴۵$
-۰/۳۷۹ (۰/۰۳)	-۰/۳۸۱ (۰/۰۱)	۰/۶۲۵ (۰/۰۱)	۰/۶۱۷ (۰/۰۱)	۱Mb	



شکل ۱- صحت و اریب پیش بینی ژنومی صفات تولید شیر (a)، وزن لاشه (b) و وزن بدن در بلوغ (c) در طول های مختلف بلوک های هاپلو تیب و آستانه فراوانی آللی.

بلوک هاپلوتیپی ۲۵۰ کیلو بایتی با فراوانی آللی ۱ درصد بیشتر از صحت مدل بر پایه طول بلوک هاپلوتیپی ۱۲۵ کیلو بایت با فراوانی آللی ۱ درصد بود (نمودار ۲). در این مطالعه، بهترین پیشرفت در صحت پیش بینی ژنومی با استفاده از روش بیز B با سطوح مختلف وراثت پذیری در طول های مختلف بلوک هاپلوتیپی در بین صفات مشاهده شد.

**تأثیر سطوح مختلف وراثت پذیری بر صحت پیش-بینی ژنومی**  
با افزایش مقادیر وراثت پذیری تحت هر مدلی، میانگین صحت ژنومی افزایش یافت. نتایج نشان داد زمانی که وراثت پذیری یک صفت بالاتر باشد، صحت برآورد شده ارزش اصلاحی ژنومی بالاتر خواهد بود. مدل های هاپلوتیپی صحت ژنومی بیشتری نسبت به مدل SNP داشتند. بین مدل های هاپلوتیپی صحت مدل بر پایه طول



نمودار ۲- صحت پیش بینی ژنومی مدل های بر پایه SNP و هاپلوتیپ در سطوح مختلف وراثت پذیری

کمتر از ۸ SNP در هر بلوک هاپلوتیپ) به طور کلی دارای صحت پیش بینی بالاتری نسبت به مدل SNP هستند، به ویژه هنگامی که آلل های هاپلوتیپ با فرکانس کمتر از ۱ درصد از جمعیت مرجع حذف شوند. ویلامسن و همکاران توسط روش شبیه سازی نشان دادند که تعداد مطلوب SNP ها در یک بلوک هاپلوتیپ به فاصله بین نشانگرها، میزان LD و ساختار جمعیت بستگی دارد. مدل های بلوک هاپلوتیپ ۲۵۰ کیلو بایتی با فراوانی آللی ۱ درصد، بهترین عملکرد را در بین چهار بلوک هاپلوتیپ بررسی شده در این مطالعه داشتند اما اجرای آن ها نسبت به مدل های SNP بسیار زمان بر بود زیرا تقریباً در این حالت، متغیرها دو برابر می شوند (۲۵). آن ها گزارش کردند که با افزایش طول بلوک هاپلوتیپ، تعداد آلل های

## بحث و نتیجه گیری مدل های هاپلوتیپ

توانایی یک مدل هاپلوتیپ برای بهبود صحت پیش بینی ژنومی به پیش فرض های قبلی مدل، روش مورد استفاده برای تعریف بلوک های هاپلوتیپی و آلل های هاپلوتیپ، تراکم SNP و تعریف جمعیت مرجع و تأیید بستگی دارد. ویلامسن و همکاران طول بهینه بلوک های هاپلوتیپ را برای صفات شبیه سازی شده با وراثت پذیری ۰/۲ تا ۰/۳ ارزیابی کرده و دریافتند که بلوک های هاپلوتیپی به طول ۱ سانتی مورگان نتایج بهتری را بین وراثت پذیری های مختلف ارائه می دهد (۲۵). صحت پیش بینی مدل های هاپلوتیپ که از طول بلوک هاپلوتیپ ۵۰۰ کیلو بایت یا کوتاه تر استفاده می کنند (به طور متوسط

حذف SNP ها پیش از تولید آلل های هاپلو تیپ کاهش یابند (۴). مطالعه حاضر به وضوح نشان داد که اندازه نمونه و انتخاب SNP تأثیر قابل توجهی بر تعداد بلوک ها و تعداد کل SNP های استنباط شده از یک نمونه جمعیت دارد. زمانی که افراد بیشتری را در نمونه خود گنجانده شود، هم تعداد بلوک ها و هم تعداد کل SNP ها افزایش می یابد. علاوه بر این، نتایج ما نشان می دهد که برای نتیجه گیری معتبر در مورد تعداد بلوک ها و SNP ها، بایستی تعداد نشانگر SNP بیشتری در این مناطق گنجانده شود. تعداد SNP مورد نیاز برای استنباط قابل اعتماد در ساختارهای هاپلو تیپ ممکن است تابعی از ناحیه و جمعیت تحت مطالعه باشد. سولبرگ و همکاران گزارش کردند که با افزایش تراکم نشانگر در هر مورگان، صحت ژنومی افزایش می یابد (۲۱). افزایش تعداد نشانگرها باعث افزایش LD بین ژن ها و نشانگرها شده و بنابراین صحت ارزیابی های ژنومی را افزایش می دهد.

#### اثر وراثت پذیری

در مطالعه حاضر با افزایش تراکم SNP و طول بلوک هاپلو تیپ از ۱۲۵ کیلوبایت به ۱ مگابایت صحت ژنومی افزایش می یابد. با افزایش تراکم SNP و طول بلوک هاپلو تیپ، می توان صحت مقادیر پیش بینی ژنومی را افزایش داد تا عدم تعادل پیوستگی بین نشانگرها، بلوک هاپلو تیپ و QTL ها افزایش یابد. در صفات با وراثت-پذیری پایین تر، ارتباط بین فنوتیپ و ارزش ژنتیکی کمتر خواهد بود و برآورد اثرات SNP را می توان با صحت کمتری انجام داد (۱۱). نتایج این مطالعه با نتایج سولبرگ و همکاران مطابقت داشت (۲۱). نیلسون و همکاران گزارش دادند که با افزایش وراثت پذیری صفت از ۰/۲ به ۰/۴، صحت ارزیابی ژنومی حدود ۴ درصد افزایش می یابد. زمانی که وراثت پذیری صفت بالا باشد، ارزش فنوتیپی فردی به ارزش ژنتیکی نزدیک تر شده و در نتیجه

نادر هاپلو تیپ افزایش می یابد، اما ممکن است مشاهدات کافی برای تخمین اثرات آن ها با صحت مناسب وجود نداشته باشد. بنابراین، طراحی هاپلو تیپ ها با استفاده از اطلاعات LD ممکن است برای پیش بینی ژنومی مفیدتر از استفاده بلوک های هاپلو تیپ با طول ثابت باشد، اما از نظر محاسباتی اجرای آن ها به زمان بیشتری نیاز دارد.

#### تراکم SNP

افزایش تراکم SNP توانایی تمایز آلل های هاپلو تیپ با تفکیک توالی را در یک بلوک هاپلو تیپ تحت تأثیر قرار می دهد: در سطح توالی، همه آلل های هاپلو تیپ واقعی در مجموعه داده ها از نظر تنوری قادر به شناسایی هستند. در حالیکه در تراکم پایین تر، یک آلل هاپلو تیپ مشخص ممکن است نشان دهنده دو یا چند آلل هاپلو تیپ واقعی باشد. این بر توانایی یک مدل برای تخمین دقیق BV یک حیوان برای آن بلوک هاپلو تیپ تأثیر می گذارد، زیرا تأثیر آلل های هاپلو تیپ شناسایی شده علاوه بر خطای پیش بینی، میانگین وزنی اثرات آلل های اصلی هاپلو تیپ واقعی خواهد بود. تلفیق ژنوتیپ در جهش های علی در هاپلو تیپ ها امکان تخمین دقیق تری از اثرات هاپلو تیپ را در مقایسه با نداشتن جهش های علی در هاپلو تیپ فراهم کرده و توانایی تشخیص اثرات کوتاه مدت بین لوکاس-های موجود در همان بلوک هاپلو تیپ را بهبود می بخشد. بنابر این، افزایش تراکم SNP پتانسیل بهبود صحت پیش بینی ژنومی را هنگام استفاده از مدل های هاپلو تیپ دارد. با این حال، افزایش تراکم SNP باعث افزایش تعداد آلل-های هاپلو تیپ شناسایی شده می شود که سبب افزایش تعداد آلل های هاپلو تیپ نادر در یک لوکاس شده و اثر این آلل ها را به سمت صفر کاهش می دهد (۷). هنگام استفاده از تراکم SNP بالا در ایجاد هاپلو تیپ ها، تعداد متغیرهای لازم برای تخمین اثرات اغلب بیشتر از تعداد SNP ها است، که سبب افزایش زمان محاسباتی می شود. تعداد متغیرهایی که نیاز به تخمین دارند، می توانند با

تعداد متغیرهای آن نیز دو برابر شده است. سریع ترین مدل‌ها بسته به صفت مورد مطالعه بین ۲۰ تا ۳۰ دقیقه اجرا شد، اما این امر به شدت با کاهش صحت پیش بینی ژنومی و افزایش اریب همراه بود. بیز B در مقایسه با بیز A زمان محاسباتی کمتری داشت. آلل های هاپلوتیپ با طول ثابت در مقابل کاربرد SNP ها می توانند صحت پیش بینی ژنومی را افزایش دهند. بلوک هاپلوتیپ به طول ۲۵۰ کیلوبایت با آستانه فراوانی آللی ۱ درصد منجر به بالاترین صحت در پیش بینی ژنومی شد. طول هاپلوتیپ و فیلتر بر اساس فراوانی آللی هاپلوتیپ تأثیر زیادی در صحت پیش بینی ژنومی دارد. فیلتر فراوانی آلل هاپلوتیپ بالاتر (۱۰ درصد)، تمایل به کاهش صحت پیش بینی ژنومی به ویژه هنگامی که طول هاپلو بلوک ها بزرگ تر بودند، دارد. به منظور نتیجه گیری معتبر در مورد ساختار بلوک های هاپلوتیپ، به جمعیت نسبتاً بزرگ با سطح تراکم بالای نشانگر نیاز دارد.

ارزش اصلاحی ژنومی با صحت بیشتری برآورد می شود (۲۵، ۱۸، ۱۰).

### زمان محاسبات کامپیوتری

مدل هایی که بر اساس آلل های هاپلوتیپ اجرا می شوند معمولاً تعداد بیشتری متغیر را نسبت به مدل های بر پایه SNP استفاده کرده و از این رو زمان بیشتری برای محاسبات لازم دارند. تعداد متغیرهای تصادفی ورودی در مدل بیز A، بدون احتساب زمان طراحی مدل و فیلتر آلل هاپلوتیپ بر زمان محاسباتی تأثیر مستقیم دارد. طراحی ۲ مگابایت آلل هاپلوتیپ با آستانه فراوانی ۱۰ درصد تنها سبب تولید ۸۵۰-۷۰۰ آلل هاپلوتیپ می شود که دارای کمترین مقدار صحت پیش بینی در بین مدل ها بود. زمان محاسباتی با افزایش تعداد آلل های هاپلوتیپ افزایش می یابد. اجرای دقیق ترین مدل برای هر سه صفت مورد مطالعه با استفاده از مدل هاپلوتیپی نسبت به مدل SNP تقریباً دو برابر زمان محاسباتی بیشتری نیاز داشت، زیرا

### منابع

1. Barrett, JC., Fry, B., Maller, J., Daly, MJ. (2005). Haploview: analysis and visualization of LD and haplotype maps. *Bioinformatics*, 21; 263-265.
2. Browning, BL., Browning, SR. (2009). A unified approach to genotype imputation and haplotype-phase inference for large data sets of trios and unrelated individuals. *Journal of Human Genetics*, 84; 210-23.
3. Chang, CC., Chow, CC., Tellier, LCAM., Vattikuti, S., Purcell, SM., Lee, JJ. (2015). Second-generation PLINK: rising to the challenge of larger and richer datasets. *Gigascience*, 4; 7.
4. Cuyabano, BCD., Su, G., Rosa, GJM., Lund, MS., and Gianola, D. (2015). Bootstrap study of genome-enabled prediction reliabilities using haplotype blocks across Nordic Red cattle breeds. *Journal of Dairy Science*, 98(10); 7351-7363.
5. De Los Campos, G., Hickey, JM., Pong-Wong, R., Daetwyler, HD., Calus, MP. (2013). Whole genome regression and prediction methods applied to plant and animal breeding. *Genetics*, 193; 327-45.
6. Ferdosi, MH., Henshall, J. and Tier, B. (2016). Study of the optimum haplotype length to build genomic relationship matrices. *Genetics*, 48(1); 75.
7. Gianola, D. (2013). Priors in Whole-Genome Regression: The Bayesian Alphabet Returns. *Genetics*, 194(3); 573-596.
8. Gabriel, SB., Schaffner, SF., Nguyen, H., Moore, JM., Roy J., Blumenstiel, B. (2002). The structure of haplotype blocks in the human genome. *Science*, 296; 2225-9.
9. Garrick, D., Fernando, R. (2013). Implementing a QTL detection study (GWAS) using genomic prediction methodology, genome-wide association studies and genomic prediction. Springer, P; 275-298.
10. Goddard, ME. (2008). Genomic selection: prediction of accuracy and maximization of long term response. *Genetics*, 136(2); 245-257.
11. Habier, D., Fernando, RL., Dekkers, JCM. (2007). The impact of genetic relationship information on genome-assisted breeding values. *Genetics*, 177(4); 2389-2397.
12. Haldane, JBS. (1919). The combination of linkage values and the calculation of distances between the loci of linked factors. *Genetics*, 8; 299-309.
13. Hayes, BJ., Chamberlain, AJ., McPartlan, H., Macleod, I., Sethuraman, L., Goddard, ME.

(2007). Accuracy of marker-assisted selection with single markers and marker haplotypes in cattle. *Genetics*, 89(4); 215-220.

**14.**Hess, M., Druet, T., Hees, A., Garrick, D. (2017). Fixed length haplotypes can improve genomic prediction accuracy in an admixed dairy cattle population. *Genetics Selection Evolution*, 49; 54.

**15.**Hill, WG., Robertson, A. (1968). Linkage disequilibrium in finite populations. *Theor. Appl. Genetics*, 38; 226-231.

**16.**Meuwissen, T., Hayes, B., Goddard, M. (2013). Accelerating improvement of livestock with genomic selection. In: H. A. Lewin and R. M. Roberts, editors, *Annual Review of Animal Biosciences*, Vol 1. *Annual Review of Animal Biosciences* No. 1. Annual Reviews, Palo Alto, p; 221-237.

**17.**Meuwissen, THE., Hayes, BJ., Goddard, ME. (2001). Prediction of total genetic value using genome-wide dense marker maps. *Genetics*, 157(4); 1819-1829.

**18.**Nielsen, HM., Sonesson, AK., Yazdi H., Meuwissen, THE. (2009). *Aquaculture*, 289; 259-264.

**19.**Sargolzaei, M., Schenkel, FS. (2009). QMSim: a large-scale genome simulator for livestock. *Bioinformatics*, 25; 680-681 .

**20.**Shirali, M., Miraei-Ashtiani, SR., Pakdel, A., Haley, C., Navarro, P., Pong-Wong, R. (2015). A comparison of the sensitivity of the BayesC and Genomic Best Linear Unbiased Prediction (GBLUP) methods of estimating genomic breeding values under different Quantitative Trait Locus (QTL) model assumptions. *Iranian Journal of Applied Animal Science*, 5(1); 41-46

**21.**Solberg, TR., Sonesson, AK., Woolliams, JA., Meuwissen, THE. (2008). Genomic selection using different marker types and densities. *Journal of Animal Science*, 86; 2447-2454 .

**22.**Sved, JA. (1971). Linkage disequilibrium and homozygosity of chromosome segments in finite populations. *Bioinformatics*, 2; 125-141 .

**23.**VanRaden, PM. (2008). Efficient methods to compute genomic predictions. *Journal of Dairy Science*, 91(11); 4414-4423.

**24.**Villumsen, TM., Janss, L. (2009). Bayesian genomic selection: the effect of haplotype length and priors. *BMC Proceedings* 3 Supp, 1(1); S11.

**25.**Villumsen, TM., Janss, L., Lund, MS. (2009). The importance of haplotype length and heritability using genomic selection in dairy cattle. *Journal of Animal Breeding and Genetics*, 126; 3-13.



# Study of the Effect of Haplotype Block Length on Improving the Accuracy of Genomic Prediction Using Bayesian Methods in Sheep

R. Sevedsharifi<sup>1</sup>, F. Ala Noshahr<sup>2</sup>, N. Hedayat-Evrigh<sup>1</sup>, J. Seifdavati<sup>1</sup>

1. University of Mohaghegh Ardabili, Faculty of Agriculture and Natural Resources, Department of Animal Sciences, Ardabi, Iran. reza\_sevedsharifi@yahoo.com

2. PhD graduated, Dept. of Animal Sciences, Faculty of Agricultural Sciences, University of Tabriz, Tabriz, Iran.

Received: 2021.21.3

Accepted: 2021.19.4

## Abstract

**Introduction & Objective:** Linkage disequilibrium (LD) advancement map and the specification of population-level haplotype block structures are parameters that are helpful for managing the study of the Genome wide Association (GWAS), and to comprehend the nature of non-linear relationship among phenotypes and genotype. Compared with single nucleotide polymorphisms (SNP), genomic prediction fitting haplotype alleles and improve prediction accuracy; but the increase in accuracy belong how the Haplotype block are characterized. The aim of this study was to test the optimal size for haplotype length in genomic predictions.

**Material and Method:** The Haplotype alleles were defined according the SNP alleles in not covering blocks 125 Kb, 250 Kb, 500 Kb, and 1 Mb. The Haplotype alleles with frequencies below 1, 2.5, 5 or 10% are eliminated. Two methods, Bayes A and Bayes B, were used to predict the genomic effects of SNPs and haplotypes. From Bayes A and B methods to predict the genomic effects of SNPs and haplotypes in three traits with three levels of heritability (milk production ( $h^2 = 0.1$ ), carcass weight ( $h^2 = 0.3$ ) and body weight in Maturity ( $h^2 = 0.45$ ) was used.

**Results:** The highest genomic prediction obtained in body weight at maturity by Bayesian method B (0.652) during 250 kb haplotypic block and the lowest by Bayesian method A in milk production (0.407) during haplotypic block 1 Mb. Haplotype blocks of 250 kb with a frequency threshold of 1% provided the highest genomic prediction accuracy. Comparing Bayes A and Bayes B methods, Bayes B method provided higher estimation accuracy in both SNP-based and haplotype allele-based models.

**Conclusion:** : Placing haplotype alleles instead of SNPs in the statistical model, if the haplotype length is properly defined, improves the accuracy of genomic prediction.

**Keywords:** GWAS, Linkage Disequilibrium, Haplotype Block, SNP, BayesA, BayesB.